

討12

鋼の焼成し第一段階における析出炭化鉄と常温時効に伴う鋼の内部構造変化

東京工業大学工学部 [○]長倉繁磨
弘津禎彦

1. はじめに

周知の如く、マルテンサイト炭素鋼を焼成すと温度上昇に伴ない三段階の変化が現われる。これらうち、 120°C 近傍の変化は焼成しの第一段階と呼ばれ、マルテンサイトから炭化鉄が析出していく過程である。しかし、この第一段階の変化がおこる温度より低温度においてもマルテンサイト内部にあいてはある種の構造変化があこっている。図1は $1.39\% \text{C}$ の鋼を液体窒素温度に焼入後、 -100°C から 200°C までの昇温時の比熱-温度曲線であるが、 -100°C 以下の温度から発熱を伴う構造変化があきていていることを示している。

之で、構造変化の実体を明らかにする上で最も直接的な手法は回折結晶学的手法である。古くはX線回折法がたゞ一つの手段であつたため、平均的な事柄しかわからなかつたが、近年は電子顕微鏡-制限視野回折法の発展に伴ない、細かい変化も検出出来るようになり、その結果、鋼の焼成しに與連した構造変化がかなりの程度明らかになつた。本稿では焼成しの第一段階において析出する炭化鉄の結晶構造、母相との整合關係、析出形態などと、炭化鉄の析出以前に、常温時効時ににおけるマルテンサイトの内部構造変化について述べることとする。なお、最近、谷野による鋼中炭化物の構造と析出に関する解説²⁾ および西山によるマルテンサイトの焼成構造に関する総合報告³⁾ が発表されているので参考されたい。

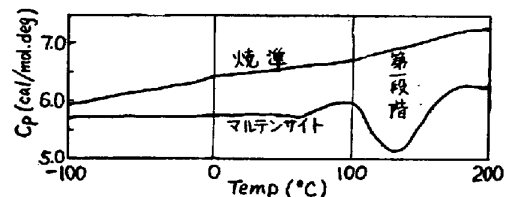


図1. $1.39\% \text{C}$ 鋼の比熱-温度曲線。
昇温速度 $2^{\circ}\text{C}/\text{分}$

2. 焼成しの第一段階における析出する炭化鉄

Kurdjumov と Lyssak⁴⁾ は焼成しの第一段階においてマルテンサイト(α')は炭化鉄を析出し、同時に軸比 $C/A = 1.012 \sim 3$ ($0.2 \sim 0.3\% \text{C}$ 相当) の微炭素マルテンサイト(α'')となることを発見した。その後 Jack⁵⁾ は析出炭化鉄の構造をX線粉末法により研究し、析出物が六方密構造の ε -炭化鉄(ε - $\text{Fe}_{2\sim 3}\text{C}$)であると述べ、更に ε -炭化鉄と母相との方位關係を推定した。また、ArbuзовとKhayenko⁶⁾ はやはりX線回折法により研究し、Jackの方位關係を確認した。これらの研究によると、Z. 炭素鋼の焼成し第一段階における析出物は h.c.p. 構造の ε - $\text{Fe}_{2\sim 3}\text{C}$ であるとされるようになつた。

しかしながら、上記の研究はX線による研究結果であり、この方法は微細な析出物の構造研究には決して最も良いものではない。事実、Jackの研究にありては回折線の強度がh.c.p. 構造によつては説明出来なかつた。そこで筆者らは制限視野回折法によるより詳細な研究を行つた。試料としては帶融精鑄純鉄を 0.13 mm 厚に圧延し、 950°C でガス冷却し、これを 1100°C で 7 hr 真空中熱処理後水中に焼入し、直ちに液体窒素中に投入してマルテンサイトとしたものを用いた。試料の炭素濃度は 1.13% と 0.45% であり、時効温度は主として 120°C 、時効時間は $1 \sim 100\text{ 日}$ である。電顕試料作製は H_3PO_4 - CrO_3 混液中の電解研磨法により、また電顕観察は JEM 200 によつた。制限視野回折像から格子定数を定

めにあたっては、試料面上に TiCl₄ を蒸着し、その回折環の面间距を基準とした。

2.1 1.13% 炭素鋼⁷⁾

この試料は Jack の用いた 1.3% C のものと対応するものである。熱処理条件も同一である。長時間露出しにより粉末 X 線回折像を撮影すると、焼失したマルテンサイト、残留オーステナイトによる回折線の他に弱い回折線が認められ、これは Jack の得た E 炭化鉄の回折線と対応がつけられた。

a. 焼失したマルテンサイトの構造

高炭素鋼マルテンサイトは板状粒のなかに細かい変態双晶を多数含んでおり、変態双晶の双晶面は (112) である。⁸⁾ 120°C 長時間焼失によって、これをこの組織は不变である、結晶内軸位密度は $(1-4) \times 10^{10} \text{ cm}^{-2}$ である。制限視野回折像は母相 α'' による回折斑点と析出物による回折斑点からなる。母相の回折斑点は互に規則性をもつて現われている。 α'' 相の格子定数として

$$a_{\alpha''} = 2.850 \pm 0.002, \quad c_{\alpha''} = 2.891 \pm 0.002 \text{ Å}, \quad (c/a)_{\alpha''} = 1.014 \pm 0.001$$

が 1 日時効の試料から得られた。 $a_{\alpha''}$ は時効時間に依存しないが、 $c_{\alpha''}$ は時効時間とともに極く僅か減少して行く傾向が認められた。

b. 析出炭化鉄の結晶構造

色々な方向から電子線を入射させて单結晶回折像を得、それを解析して析出物の逆格子を母相 α'' の逆格子と関連づけて作り上げた。その際に重回折に基づく斑点や逆格子点の伸びに基づく斑点等に注意して解析した。回折像の一例を図 2 に示す。すべての回折像

は六方晶を炭化鉄としては説明出来る。そして回折強度は Co_2N や Co_2C と同形の結晶構造を假定することにより満足に説明出来る。これらから、析出炭化鉄は空間群 P_{nmm} 、原子位置 4Fe at 4g with $x = \frac{2}{3}$, $y = \frac{1}{4}$; 2C at 2a の結晶構造のものであると決定された。

図 3 は結晶構造を示したものである。これは明に E 炭化鉄とは異なる化合物なの η - Fe_2C と名づけられた。

なお、回折斑点のあるものは、八面体隙間に規則的に配列した C 原子の寄与のみによるものから、規則格子反射と呼ぶこととする。

c. 母相との方位関係

析出炭化鉄と母相 α'' との方位関係は、組立てられた逆格子の間の関係から

$$(110)_\eta // (010)_{\alpha''}, \quad [001]_\eta // [100]_{\alpha''}$$

と決定された。

d. 析出炭化鉄の形態

試料の明視野像と炭化鉄の回折斑点を用いた暗視野像を主に比較した結果、 η - Fe_2C は図 4 に示す如く軸位線上に沿ってほぞ等しい面で析出していることが知られた。個々の炭化鉄粒子は厚さ 30-50 Å の C_η 方向に薄い板状のものである。粒子間の距離は板厚の半分である。板厚が時効時間に無関係には一定であるのにに対し、板の幅は時効時間と共に広くなり、1 日時効で 30 Å のものが 100 日時効では 100 Å 位になる。これに伴い、 $[110]_\eta^*$ と $[\bar{1}\bar{1}0]_\eta^*$ が

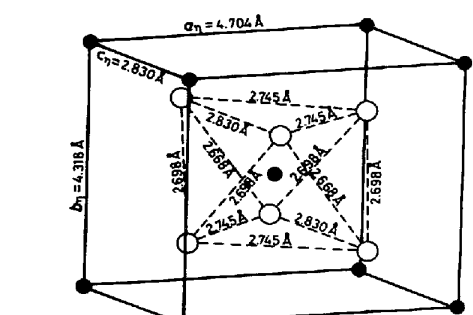
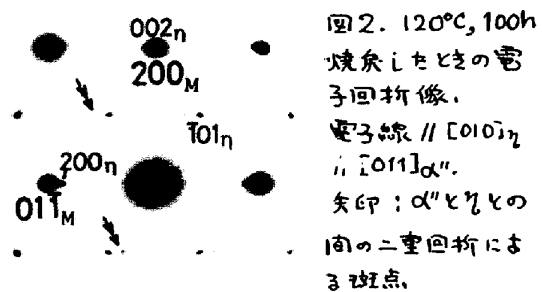


図 3. η - Fe_2C の結晶構造。白丸: Fe 原子、黒丸: C 原子

向（即ち $[010]_{\alpha''}^*$ と $[001]_{\alpha''}^*$ の方向）に伸びていた析出物の回折斑点は次第に鋸くなる。なお、板厚が薄いときに拘る、板に垂直な方向、すなわち $[001]_{\gamma}^*$ ($[100]_{\alpha''}^*$) には回折斑点の伸びは認められない。この方向では母相の面間隔と析出物の面間隔がほど等しく、したがって個々の炭化鉄粒子からの散乱波が constructive に干渉するのである。

2.2 0.45% 炭素鋼

炭素濃度の低い鋼の焼入組織は板状および lath 状マルテンサイトよりなるので、この場合の析出炭化鉄が前同様 $\gamma\text{-Fe}_2\text{C}$ であるかどうかを調べる目的で研究を行なた。

a. 焼入とマルテンサイトの構造

lath 状、板状および双晶構造をもつマルテンサイト組織が観察された。lath 状のものには転位密度が著しく高いものが見られた。焼入とマルテンサイトの格子定数は

$$a_{\alpha''} = 2.845 \pm 0.002, \quad c = 2.870 \pm 0.002 \text{ \AA}, \quad (c/a)_{\alpha''} = 1.009 \pm 0.001$$

であって、軸比が 1.13% C の場合より僅かに小さい。

b. 析出炭化鉄

比較的転位密度の低い lath 状マルテンサイトを 120°C で焼成すると、析出炭化鉄の回折斑点があらわれ、解析の結果 $\gamma\text{-Fe}_2\text{C}$ と同定された。格子定数は

$$a = 4.696 \pm 0.016, \quad b = 4.282 \pm 0.030, \quad c = 2.819 \pm 0.007 \text{ \AA}$$

であって、1.13% C の場合と誤差の範囲内で一致している。板状、双晶を含むマルテンサイトからの析出物も同様に $\gamma\text{-Fe}_2\text{C}$ である。 ε -炭化鉄の析出は見られなかった。また、析出の様相も 1.13% C の場合と同様転位線に沿って配列した板状粒子よりなっている。その大きさも亦前と異ならない。だがし C 濃度が低いため、析出粒子数は少ない。

これに反し、高転位密度の lath 状マルテンサイトからは 120°C 、40日 の焼成においても析出物の回折斑点は現われなかつた。しかし 200°C で焼成すると弱い回折斑点が $\gamma\text{-Fe}_2\text{C}$ の回折斑点の現われる位置に認められるようになつた。また、板状マルテンサイトを 200°C で 3 hr 焼成したとき、その形狀は、1.13% C の場合と低転位密度の lath 状マルテンサイトの場合と異なり、針状である。しかしこの針状のものは单結晶ではなく、複雑な組織をもつてゐる模様である。

2.3 γ -炭化鉄と ε -炭化鉄

以上のことから、炭素鋼の焼成との第一段階において析出される炭化鉄は従来考えられてきたまゝ六方晶の $\varepsilon\text{-Fe}_{2-3}\text{C}$ ではなく、斜方晶の $\gamma\text{-Fe}_2\text{C}$ であり、それは転位線に沿って厚さ 50 \AA 程度の微細板状粒子として析出することが知られる。

γ と ε とは結晶学的には異なる化合物である。明確に区別されるべきものである。すなわち鉄原子配列は非常にになっている。図 5 は両者の最密原子面を重ねて示したものである。すなわち ε の面を $[100]$ 方向上に伸ばし、 $[120]$

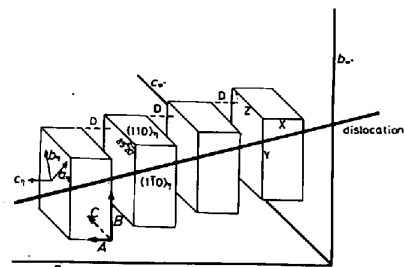


図 4. 転位線に沿ってはるる面間に析出する $\gamma\text{-Fe}_2\text{C}$ 粒子。

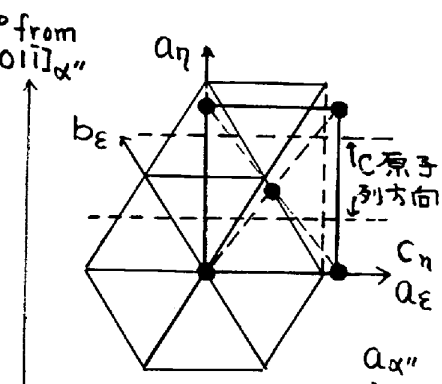


図 5. $\gamma\text{-Fe}_2\text{C} \times \varepsilon\text{-Fe}_{2-3}\text{C}$ の最密原子面の比較

方向に縮めれば γ の格子となる。伸縮の程度はそれぞれ 3% , 1% 程度なので、X線粉末法を用いた研究では γ との差異を検出するのが困難である。なお同じ事情が電子回折粉末图形の場合にもある。合成した炭化鉄の構造研究はすべて粉末法により行なわれているので、その意味では単結晶回折像に基づいた現在の研究成果より信頼度は低いものといえる。なお、 γ -Fe₂C に対し定められた母相との方位関係は、その斜方格子と六方格子に近似させれば、Jack 等の定めたものに近いことと言えておく。

3. 常温時効によるマルテンサイトの内部構造変化

Izotov と Utevskiy⁹⁾ は常温時効させた鋼の電子回折斑点の周りに特異な形状の散慢散乱を認め、Khachaturyan と Onisimova¹⁰⁾ はこれが C 原子が短範囲規則配列 (S.R.O.) をする結果であることを示した。また、Izotov らは回折像上に規則格子斑点を見出し、これは Fe₄C が生成されたことによるとした。筆者らもまた同様な観察を行った。用いた試料は前と同じ 1.13% C 鋼で、焼入直後から 3ヶ月室温時効させたものである。

3.1 散慢散乱と短範囲規則度

正方晶マルテンサイトにおいて、C 原子の占める位置は座標の X 印をつけた八面体隙間に考えられ、この位置は Fe 原子と同じ b.c.t. 格子をつくる。この位置への C 原子の分布の問題は、二元合金の S.R.O. 形成の問題と比較すれば、一方の原子を C 原子、他方の原子を空孔点としたときに对应する。Clapp と Moss¹¹⁾ の S.R.O. 理論を適用すれば、散慢散乱強度分布は

$$I_{S.R.O.}(q) \propto \alpha(q) = C / \left\{ 1 + \frac{C(1-C)}{kT} V(q) \right\}$$

となる。こゝに I は散乱ベクトル、 $\alpha(q)$ は Warren-Cowley の S.R.O. パラメーターのフーリエ変換、 C は定数、 C は C 原子濃度、 k は Boltzmann 定数、 T は絶対温度、 $V(q)$ は原点にある C 原子と格子点間にある C 原子との間の相互作用エネルギー $-V(\mathbf{R}_j)$ のフーリエ変換、すなわち

$$V(q) = \sum_j V(\mathbf{R}_j) \exp 2\pi i q \cdot \mathbf{R}_j$$

である。 $V(\mathbf{R}_j)$ として Mori-Kato¹²⁾ による弹性相互作用エネルギーを用いて計算した $I_{S.R.O.}(q)$ を図 7 に、回折像を図 8 に示す。計算結果は観察された逆格子点の周りの強度分布を定性的に説明している。以上においては Khachaturyan らと同様、C 原子の周囲にある Fe 原子の変位の影響が $I_{S.R.O.}(q)$ に取入れられていない。Fe 原子変位の影響を取り入れた理論式が導出された¹³⁾が、数値計算はまだ行なっていない。よりよく観察強度が説明出来るのではないかと思ふ。

なお、 $V(\mathbf{R}_j)$ から計算された S.R.O. パラメーター $\alpha(q)$ の値を右に示す。

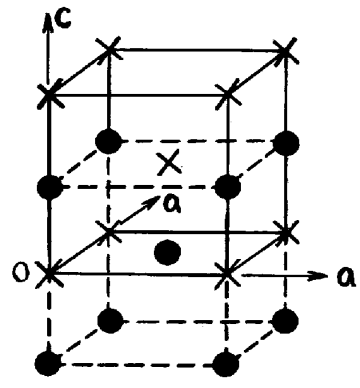


図 6. マルテンサイトにおける C 原子のためる位置 (X印)

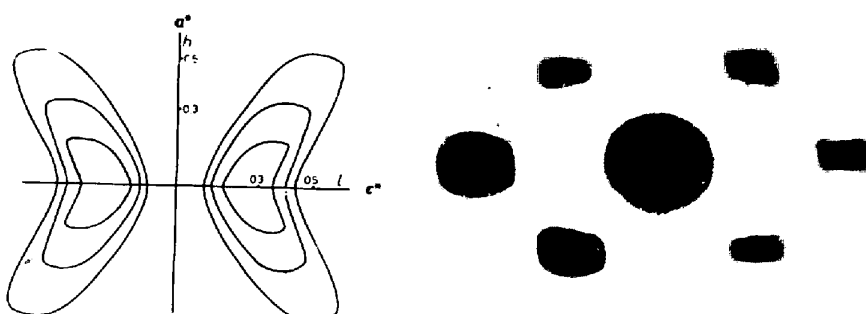


図 7. a^* - c^* 平面上の散慢散乱強度分布

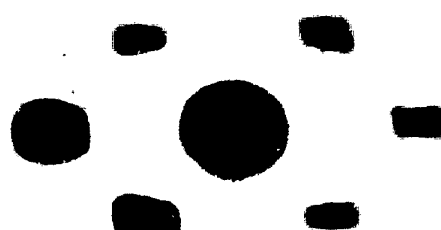


図 8. 回折像、電子線// [010]a', 3h 時効

格子点	$\alpha(R_j)$
$\frac{1}{2} \frac{1}{2} \frac{1}{2}$	+0.6
1 0 0	+0.8
0 0 1	~0.0
1 1 0	+0.6
1 0 1	>+0.1

3.2 規則格子構造

図9は室温で31ヶ月時効させた試料の回折像²⁾、基本反射点の中間に弱い斑点がみられる。反射点の位置を調べてみると、それはIzotovら³⁾が考えた図10のFe₄Cの構造により説明がつけられそうに見える。しかし詳細に観察してみると、こからの反射点は分裂しているたり、スパイクを伴なっていたりする。そのため、実際の結晶構造は図10のものよりかなり複雑なものである。図11は規則格子反射を用いた暗視野像⁴⁾である。これより規則格子構造を持つ領域はほゞ大きさ数十Åのものであることが知られる。

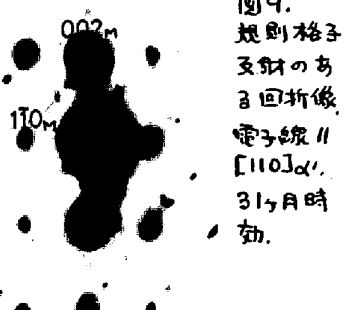


図9.
規則格子
反射のあ
る回折像
電子線//
[110] α'
31ヶ月時
効.

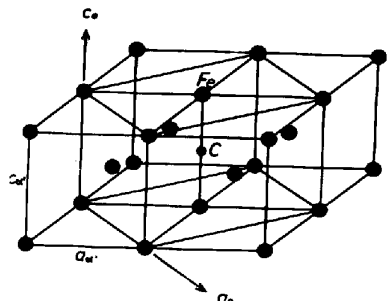


図10.
Izotovら
によるFe₄C
の結晶構造

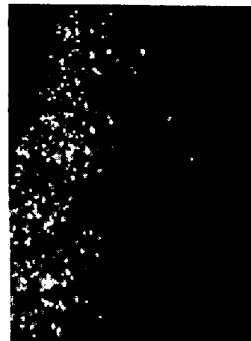


図11.
規則格子反
射を用いた
暗視野像

0.1μ

3.3 常温時効に伴う構造変化

実験結果によると、時効時間3h以下で散慢散乱が現われはじめ、3ヶ月位たとて散慢散乱に加えて規則格子反射があらわれるようになり、31ヶ月の試料²⁾は局所的に η -Fe₂Cの析出が認められた。こゝに示したマルテンサイト鋼の内部構造変化はいづれもC原子の移動に伴つて起つて変化である。図1に示した0°~100°Cの発熱はこれらへ内部構造変化に対応するものである。

文 献

- 1) 柳谷、人見、長倉：日本金属学会誌, 26(1962), 494.
- 2) 谷野：日本金属学会報, 11(1972), 203.
- 3) 西山：製鐵研究, 273号(1971), 9835.
- 4) G. Kurdjumov and L. Lyssak : J. Iron Steel Inst. 156 (1947), 29.
- 5) K. H. Jack : J. Iron Steel Inst. 169 (1951), 26.
- 6) M. P. Arbuzov and B. V. Khayenko : Phys. Metals Metallogr. 13 (1962), 128.
- 7) Y. Hirotsu and S. Nagakura : Acta Met. 20 (1972), 645.
- 8) 清水：日本結晶学会誌, 11 (1969), 90.
- 9) V. I. Izotov and L. M. Utevskiy : Fiz. metal. metalloved. 25 (1968), 98.
- 10) A.G. Khachaturyan and T.A. Onisimova : Fiz. metal. metalloved. 26 (1968), 993.
- 11) P.C. Clapp and S.C. Moss : Phys. Rev. 142 (1966), 418.
- 12) T. Mori and Kato : 未発表.
- 13) Y. Hirotsu and S. Nagakura : 9th Int. Cong. Crystallography, August - Sept. (1972) Kyoto.